

SOF

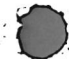
<u>II-762</u>	SO_2^+	SO_2F^+ (A.P.)	I958
SO_2^+ , SO^- ,	SOF^+		
S^+ ,	SO_2^- (I, D)		
O_2^+ (A.P.)	SO_2F_2 (Δ H)		
O_2^+ , O^-	F_2 (A)		

Reese R.M., Dibeler V.H., Franklin J.L.

J.Chem.Phys., I958, 29, N 4, 880-883(англ.)

Изучение двуокиси серы и сульфорилфторида методом электронного удара.
РЖХ, I959, № I8,
63424.

μ_{10}



✓ op

FCS

1980

FSO

Hinekiffle A, et al.

J. Mol. Struct. 1980, 66,
235-42.

KO. CCR.
paper

ccr. HOS - ii

Onneck 10544

1980

FSO

Kl. Mex.
parcen
CmykM., Di,
Uul. Nocm.

95: 86730j Ab initio studies on the electronic structure of the FSO radical. Sakai, Shogo; Morokuma, Keiji (Inst. Mol. Sci., Okazaki, Japan 444). *Chem. Phys.* 1980, 52(1-2), 33-8 (Eng). The geometries of the FSO radical in the ground ($^2A''$) and first excited ($^2A', n \rightarrow \pi^*$) state were calcd. with the ab initio UHF SCF gradient method. The geometry in the first excited state is predicted to be $r_{SO} = 1.693 \text{ \AA}$, $r_{SF} = 1.609 \text{ \AA}$, and $\sqrt{FSO} = 95.5^\circ$. The force consts., vibrational frequencies and dipole moments were calcd. The predicted $^2A' \leftarrow ^2A''$ transition energy, calcd. at the optimized geometries with an UHF-NO-CI method, is 3.9 eV for the vertical excitation, 0.9 eV for the vertical emission and 2.6 eV for the electronic term value. The oscillator strength is also calcd. A brief discussion is given on the role of bound functions on the calcd. geometry.

C.A. 1981, 95, N10

FSO

Омск 10544 1980

4 Д61. Неэмпирическое исследование электронного строения радикала FSO. Ab initio studies on the electronic structure of the FSO radical. Sakai Shogo, Morokuma Keiji. «Chem. Phys.», 1980, 52, № 1—2, 33—38 (англ.)

Неэмпирическим методом ССП МО ЛКАО в рамках неограниченного метода Хартри — Фока в базисе OCT-4-31ГФ, дополнительно включавшем связевые *s*- и *p*-ф-ции, с оптимизацией геометрии исследовано электронное строение радикала FSO в основном ($^2A'$, π-радикал) и $n \rightarrow \pi^*$ -возбужденном ($^2A'$, σ-радикал) состояниях. Длины связей SO и SF и угол для основного состояния найдены равными (в скобках эксперим. значения) 1,443 (1,452) и 1,560 (1,602) Å и $107,9^\circ$ ($108,3$), аналогичные значения для возбужденного состояния оценены в 1,693 и 1,609 Å, $95,5^\circ$ соответственно. Дипольный момент найден равным 2,3 ед. Дебая

М. Н;
консерв

φ. 1981 N 4

(1,662) для основного состояния, для возбужденного состояния получено 1,4 ед. Дебая. Также оценены частоты и силовые постоянные валентных и деформационных колебаний, удовлетворительно согласующиеся с эксперим. значениями для основного состояния. С учетом конфигурац. взаимодействия оценены энергии перехода ${}^2A' \leftarrow {}^2A''$, найденные равными 3,9 эв для вертикального возбуждения, 0,9 эв для вертикальной эмиссии и 2,6 эв для величины электронного терма. Подчеркнуто, что удовлетворительную равновесную геометрию удается получить только при включении в базис связевых функций.

В. Л. Лебедев



FSO

Финиш 10544

1980

7 Б25. Неэмпирические исследования электронного строения радикала FSO. Sakai Shogo, Mogokumi Keiji. Ab initio studies on the electronic structure of the FSO radical. «Chem. Phys.», 1980, 52, № 1—2, 33—38 (англ.)

Неограниченным методом ССП МО ЛКАО с использованием градиентного метода проведена оптимизация равновесных геометрич. параметров радикала FSO в основном ($^2A''$) и первом возбужденном ($^2A'$, $n \rightarrow \pi^*$) состояниях. В расчетах использовался базис гауссовых функций 4-31 ГФ с добавлением s - и p -ГФ, локализованных на связях. Исследовано влияние учета связевых ГФ на результаты расчета геометрич. параметров FSO, в частности, показана важность оптимизации места локализации базисных ГФ на связях. Равновесные геометрич. параметры для обоих состояний FSO составили: $^2A''$ — $R(SO) = 1,44$ Å, $R(SF) = 1,56$ Å, $\angle FSO = 107,9^\circ$; $^2A'$ — $R(SO) = 1,68$ Å, $R(SF) = 1,56$ Å, $\angle FSO = 95,1^\circ$. Помимо геометрич. параметров для состояний

дис. 20.04.

М.Н.

Х. 1981 N 7

$^2A''$ и $^2A'$ вычислены силовые постоянные, частоты колебаний и дипольные моменты. При равновесных геометриях обоих состояний методом КВ (с последующей экстраполяцией к полному КВ) вычислена энергия вертикальных переходов $^2A' \leftarrow ^2A''$, 3,9 эВ, и $^2A' \rightarrow ^2A''$, 0,9, а также адиабатич. перехода, 2,6 эВ. При равновесных геометрич. параметрах состояний $^2A''$ и $^2A'$ радикала FSO рассчитаны силы осцилляторов перехода $^2A' \leftarrow ^2A''$, составившие $0,55 \cdot 10^{-4}$ и $0,44 \cdot 10^{-4}$, соотв.

И. А. Тополь

“
ось
чию”

FSO

отмечено 11412

1981

8 Д486. Микроволновый спектр, спин-вращательное взаимодействие, постоянные сверхтонкого взаимодействия, дипольный момент, молекулярная структура и силовые постоянные радикала FSO. Microwave spectrum, spin-rotation, and hyperfine interaction constants, dipole moment, molecular structure, and harmonic force constants of the FSO radical. Endo Yasuki, Saito Shuji, Hirota Eizii. «J. Chem. Phys.», 1981, 74, № 3, 1568—1579 (англ.)

Mr. V.

Синтез

ф. 1981/18

Омск 11412 1981

FSO

17 Б313. Микроволновый спектр, постоянные спин-вращательного и сверхтонкого взаимодействий, дипольный момент, молекулярная структура и постоянные гармонического силового поля радикала FSO. Endo Y., Saito S., Higota E. Microwave spectrum, spin-rotation, and hyperfine interaction constants, dipole moment, molecular structure, and harmonic force constants of the FSO radical. «J. Chem. Phys.», 1981, 74, № 3, 1568—1579 (англ.)

Измерены в области частот 30—80 ГГц МВ-спектры двух изотопич. образцов нестабильного радикала, $F^{32}SO$ (I) и $F^{34}SO$ (II), в основном колебательном состоянии I и I в первом возбужденном колебательном состоянии деф. моды. Радикал FSO получен в результате р-ции между карбонилсульфидом и продуктами МВ-разряда в смеси O_2/CF_4 . Анализ спектров выполнен в приближении асимметричного волчка с учетом квартичного центробежного искажения, спин-вращательного взаимодействия и магнитного сверхтонкого взаимодействия. Сделан вывод о том, что I является π-радикалом с основным электронным состоянием $^2A^{\pi}$ по ана-

МН.

Х. 1981/17

логии с соединениями HO_2 и HSO . Вращательные по-
стоянныe в основном состояния I и II, соответственно,
равны (в Мгц): $A = 38698,179(19)$ и $37536,604(63)$, $B =$
 $= 9340,810(4)$ и $9334,694(7)$, $C = 7505,064(5)$ и
 $7456,138(6)$. По эффекту Штарка для 5 МВ-переходов
определены компоненты дипольного момента I $\mu_a =$
 $= 0,374(12)D$, $\mu_b = 1,624(9)D$ и полный дипольный мо-
мент $\mu = 1,666(13)D$. Из данных для I и II вычислены
параметры r_0 -структурь молекулы $r(\text{S}-\text{F}) = 1,603(3) \text{ \AA}$,
 $r(\text{S}-\text{O}) = 1,452(3) \text{ \AA}$, $\langle \text{FSO} \rangle = 108,32(6)^\circ$. Вычисленные
структурные параметры согласуются с соотв-щими ре-
личинами для родственных молекул. На основе полу-
ченных значений постоянных центробежного искажения
вычислены коэф. гармонич. силового поля молекулы.

С. Н. Мурзин

анса
с'

FSO

M. E. Eckert

Def. copy type

C.A. 1981. 94 N.Y.

94; 129672r Microwave spectrum, spin-rotation, and hyperfine interaction constants, dipole moment, molecular structure, and harmonic force constants of the FSO radical. Endo, Yasuki; Saito, Shuji; Hirota, Eizi (Inst. Mol. Sci., Okazaki, Japan 444). *J. Chem. Phys.* 1981, 74(3), 1568-79 (Eng). The FSO radical was identified by its microwave spectrum, in the reaction of COS with microwave discharge products of an O₂-CF₄ mixt. Spectra of the normal and ³⁴S species in the ground vibrational state and of the normal species in the 1st excited bending state were obsd. in the frequency region from 30 to 80 GHz. The rotational consts., centrifugal distortion consts., spin-rotation coupling consts. including their centrifugal distortion terms, and magnetic hyperfine coupling consts. of the F atom were detd. from analyses of the obsd. spectra. The off-diagonal components of the spin-rotation and hyperfine coupling $c_{ab} + c_{ba}$ T_{ab} were obtained with good accuracy. These mol. consts. lead to the conclusion that FSO is a π radical and its electronic ground state is $^2A^{\prime\prime}$. The following structure parameters were calcd. from the rotational consts. of the normal and ³⁴S species: $r(S-F) = 1.602(3)$ Å, $r(S-O) = 1.452(3)$ Å, and $\angle FSO = 108.32(6)$ °. The dipole moment was detd. from Stark effect measurements as $\mu_a = 0.374(12)$ D, $\mu_t = 1.624(9)$ D, and $\mu_{total} = 1.666(13)$ D. The harmonic force field and vibrational frequencies were estd. from the obsd. centrifugal distortion consts. and inertia defect.

FSO

Unmeck 17190

1983

Даеков
УК изобр.
магнитик.
резонансн.
спектр
в 20130604
годзе.

Radford H.E.,
Wayne F.D., et al.,

J. Mol. Spectrosc., 1983,
99, N1, 209-220.

FSO
SDF

Lau. 24/95

1986

pacem
Енгол. и
Барбер
Узомир.

Чаркеев О.Н.,
Зюбеков Т.С.

Коопделас, хулиган,
1986, 12, №, 1011-1037.

FSO

[30353]

1988

Краснов К. С.,
Федоренченко Н. В.,

ОНИИТЭХИМ.

Деп. № 378-ХЛ-86,
Черкассы, 1988.

д.н.
(обзор)

FOS

1990

Эробика ГИС.

Эк. МЕОРАН. ЖУРСАЕВ.

1990. 35, №. с. 1393-
1396.

(см. ● FBeB; III)

FOS

1990

Зюбича Гл. с.

ст. №.

Ж. Морози. Речицца.

1990, 35, №. с. 1588—
1592.

(см. FNO; III)

SOF⁺

1994

Stricklett R. L.,
Kassoff J. M., et al.
(A.P.) Gaseous Dielectr. VII,
[Proc. Int. Symp.] 7th
1994, 257-64.

(e.g. SF₅⁺; III)

SFO

[Om. 38754]

1996

Luis A. Muñoz, Brad R.
Weiner et al.,

M.N.
DH

J. Mol. Struct. (Theo-
chem) 1996, 388, 1-6.

F80

Om. 39178

1997

F80₂

free energy - cm²-Pa

Zhuanajie li,

ab initio
pacem

J. Phys. Chem. 1997, A101,
9545-9550.